

ΠΡΑΚΤΙΚΑ ΤΗΣ ΑΚΑΔΗΜΙΑΣ ΑΘΗΝΩΝ

ΕΚΤΑΚΤΟΣ ΣΥΝΕΔΡΙΑ ΤΗΣ 6ΗΣ ΔΕΚΕΜΒΡΙΟΥ 1979

ΠΡΟΕΔΡΙΑ ΚΑΙΣΑΡΟΣ ΑΛΕΞΟΠΟΥΛΟΥ

ΑΣΤΡΟΝΟΜΙΑ.— 'Ο προσδιορισμὸς τῶν χρόνων ἔξωτερικῶν ἐπαφῶν κατὰ τὶς ἡλιακὲς ἔκλείψεις μὲ τὴν μέθοδο τῶν κοινῶν χορδῶν καὶ οἱ σχετικὲς μετρήσεις ἀπὸ τὴν δακτυλιοειδῆ ἔκλειψη τῆς 20ῆς Μαΐου 1966, ὑπὸ Δημητρίου Διαλέτη καὶ Θεοδώρου Προκάκη *. Ἀνεκοινώθη ὑπὸ τοῦ Ἀκαδημαϊκοῦ κ. Ἰωάννου Ξανθάκη.

'Ο προσδιορισμὸς τῶν χρόνων ἐπαφῆς ἡλιακοῦ καὶ σεληνιακοῦ δίσκου κατὰ τὴ διάρκεια τῶν ἡλιακῶν ἔκλειψεων ἔχει σκοπὸ τὴν εὑρεση συστηματικῶν διαφορῶν μεταξὺ τῶν παρατηρουμένων τιμῶν καὶ τῶν ὑπολογιζομένων βάσει τῶν στοιχείων τοῦ Bessel. Γιὰ τὸ λόγο αὐτὸ ἐπαναμβάνονται μετρήσεις αὐτοῦ τοῦ εἰδούς σὲ κάθε ἡλιακὴ ἔκλειψη.

Οἱ μέθοδοι ποὺ κατὰ καιροὺς ἀναπτύχθηκαν γιὰ τὸν προσδιορισμὸ τῶν χρόνων ἐπαφῆς διὰ παρατηρήσεως, παρουσιάζουν ἰδιαίτερη ποικιλία.

Τὸ πρόβλημα ποὺ προέκυψε ἀπὸ μεγάλο ἀριθμὸ μετρήσεων ἀπὸ διαφόρους παρατηρητὲς γιὰ ἵκανοποιητικὸ ἀριθμὸ ἔκλειψεων εἶναι ὅτι ὅχι μόνο δὲν βρέθηκαν συστηματικὲς διαφορές, ἀλλὰ ἀντίθετα τὸ μέγεθος τῆς διασπορᾶς τῶν μετρουμένων τιμῶν ἀπὸ τὶς ὑπολογισθεῖσες ἀπὸ τὰ στοιχεῖα Bessel ἦταν ἰδιαίτερα

* D. DIALETIS - TH. PROKAKIS, *The determination of the external contact-time of Solar eclipses by the use of commun strings and the measurements from the annular eclipse of May 20, 1966.*

μεγάλο καὶ μὲ ἀκανόνιστες μεταβολές ἀπὸ ἔκλειψη σὲ ἔκλειψη. Τὸ γεγονὸς αὐτὸ μᾶς ὅδηγεῖ στὸ συμπέρασμα ὅτι εἴτε οἱ μέθοδοι ὑπολογισμοῦ καὶ παρατηρήσεων δὲν εἶναι ἵκανοποιητικές, εἴτε ἡ μέθοδος Bessel προσδιορισμοῦ τῶν χρόνων ἐπαφῆς δὲν παρέχει τὴν ἀπαίτουμενη ἀκρίβεια καὶ μάλιστα ὅτι τὰ σφάλματα ποὺ παρουσιάζονται δὲν εἶναι συστηματικά.

Στὴν παροῦσα ἐργασία ἐπιχειρεῖται μιὰ λεπτομερὴς διερεύνηση τοῦ θέματος, προτείνονται ὄρισμένες βελτιώσεις γιὰ τὸν τρόπο παρατηρήσεως καὶ δίνονται οἱ σχετικὲς μετρήσεις γιὰ τὴν ἔκλειψη τῆς 20ῆς Μαΐου 1966 γιὰ τὴν δύοια ὑπῆρχε ἥδη φωτογραφικὸ ὑλικὸ ἀπὸ ἀποστολὴ τοῦ Ἐθνικοῦ Ἀστεροσκοπείου Ἀθηνῶν.

Ἐπειδὴ τὸ ὑλικὸ παρατηρήσεως ἦταν περιορισμένο σὲ πλῆθος φωτογραφιῶν ἔγινε προσπάθεια νὰ ἐπιτύχουμε τὰ μέγιστα μὲ τὴν κατάλληλη ἐπεξεργασία.

ΟΙ ΠΑΡΑΤΗΡΗΣΕΙΣ:

Κατὰ τὴ διάρκεια τῆς ἔκλειψεως τῆς 20/5/66 ἐργάστηκαν πέντε ἀποστολὲς τοῦ Ἐθνικοῦ Ἀστεροσκοπείου Ἀθηνῶν. Τὸ πρόγραμμα τῶν παρατηρήσεων τῆς ἀποστολῆς στὴν Κάρυστο περιεῖχε καὶ τὸν προσδιορισμὸ τῶν χρόνων ἔξωτεροιῶν ἐπαφῶν ἥλιακοῦ καὶ σεληνιακοῦ δίσκου μὲ φωτογραφικὴ παρατήρηση.

Χρησιμοποιήθηκε τὸ τριπλὸ ἥλιακὸ τηλεσκόπιο τοῦ Ἀστεροσκοπείου Ἀθηνῶν, τὸ διπολὸ τοποθετήθηκε στὴν κορυφὴ ὁμαλοῦ λόφου ἐπὶ ἔξεδρας ὑφους τριῶν μέτρων, ὥστε νὰ βελτιωθεῖ κατὰ τὸ δυνατὸ ἡ ποιότητα τῶν εἰδώλων. Ἡ λήψη τῶν φωτογραφιῶν ἔγινε μὲ ἥλιογραφικὸ θάλαμο Zeiss πὸν προσαρμόστηκε στὸ τηλεσκόπιο τῶν 15 ἑκατοστομέτρων.

Ἡ διάμετρος τοῦ ἥλιακου εἰδώλου στὴν ἑστία τοῦ θαλάμου ἦταν 76 mm. Χρησιμοποιήθηκαν φωτογραφικὲς πλάκες P5 τῆς Gevaert. Οἱ φωτογραφίες ἐλήφθησαν μὲ ἵκανοποιητικὲς συνθῆκες παρατηρήσεως (2,0 στὴν κλίμακα Kiepenheuer), 10 σὲ διάστημα 3 min περίπου μετὰ τὴν πρώτη ἐπαφὴ καὶ 11 σὲ διάστημα 4 min περίπου πρὸιν ἀπὸ τὴν τελευταία. Ὁ ἀριθμὸς τῶν φωτογραφιῶν δὲν μπορεῖ νὰ θεωρηθεῖ ἵκανοποιητικός.

Σὲ κάθε λήψη γινόταν αὐτόματα ἡ καταγραφὴ τοῦ χρόνου σὲ ταινία χρονογράφου μὲ ἀκρίβεια τῆς τάξεως ἑκατοστοῦ τοῦ δευτερολέπτου. Στὴν ἴδια ταινία γραφόταν καὶ ὁ χρόνος χρονομέτρου τὸ διπολὸ εἶχε ὑποστεῖ τὶς ἀπαραίτητες συγ-

κρίσεις πρὸς καὶ μετὰ ἀπὸ τὴν ἐκλειψη ὥστε ἡ ἀκρίβεια στὸν προσδιορισμὸν τοῦ χρόνου λήψεως νὰ εἴναι πράγματι τῆς τάξεως τοῦ ἑκατοστοῦ τοῦ δευτερολέπτου.

Ἡ ἐμφάνιση τῶν φωτογραφιῶν πλακῶν ἔγινε δμοιόμορφα. Οἱ μετρήσεις τῶν ἀρνητικῶν ἔγιναν μὲ τὴ μετρητικὴ μηχανὴ Ridell τοῦ Ἀστρονομικοῦ Σταθμοῦ Πεντέλης ἡ δοία μετρᾶ ἀποστάσεις τῆς τάξεως τοῦ 1 μικροῦ.

Ο ΥΠΟΛΟΓΙΣΜΟΣ ΤΩΝ ΧΡΟΝΩΝ ΤΩΝ ΕΞΩΤΕΡΙΚΩΝ ΕΠΑΦΩΝ
ΓΙΑ ΣΥΓΚΕΚΡΙΜΕΝΟ ΤΟΠΟ

Γιὰ τὸ θεωρητικὸν ὑπολογισμὸν τῶν χρόνων ἐπαφῆς χρησιμοποιήσαμε τὴν προσεγγιστικὴν μέθοδο Bessel, ὅπως ἀκριβῶς ἐφαρμόζεται ἀπὸ τὶς ἀστρονομικὲς ἐφημερίδες. Οἱ ήμιδιαμετροὶ ἡλίου καὶ σελήνης μετρήθηκαν χωρὶς τὴν ὑπάρχουσα ἀλλαγὴ καὶ ὡς τιμὴ ήμιδιαμέτρου τοῦ ἡλιακοῦ δίσκου στὴν ἀπόσταση μιᾶς ἀστρονομικῆς μονάδας λαμβάνεται ἡ $15'59''$.63. Τὰ γενικὰ στοιχεῖα τῆς ἐκλείψεως λαμβάνονται ἀπὸ τὴν ἀστρονομικὴν ἐφημερίδα.

Γιὰ τὸν ὑπολογισμὸν τῶν χρόνων γιὰ συγκεκριμένο τόπο πρέπει, ἀφοῦ ὑπολογισθοῦν οἱ γεωκεντρικὲς συντεταγμένες $\varrho \cdot \sin \varphi'$ καὶ $\varrho \cdot \cos \varphi'$ ἀπὸ τὸ γεωδαιτικὸν πλάτος φ καὶ μῆκος λ μὲ τὴ βούθεια τῶν γενικῶν στοιχείων $\chi, y, \sin d, \cos d, m$ καὶ l_1 καὶ τὶς ὀριαῖες μεταβολὲς χ' καὶ y' γιὰ προσεγγιστικὸν χρόνο ποὺ προσδιορίζεται ἀπὸ τὸ χάρτη τῆς ἐκλείψεως, νὰ βροῦμε τὴν κατάλληλη διόρθωση τηγιὰ τὸ χρόνο αὐτό.

$$\tau = \frac{L}{\eta} \cos \psi = \frac{D}{\eta^2} \quad \text{ὅπου}$$

$$D = (\chi - \xi)(\chi' - \xi') + (y - \eta)(y' - \eta')$$

$$\eta = u'^2 + v'^2 = (\chi' - \xi')^2 + (y' - \eta')^2$$

$$\cos \psi = \cos \left\{ \sin^{-1} \left[\frac{(uv' - u'v)}{L\eta} \right] \right\} = \cos \left\{ \sin^{-1} \left[\frac{(\chi - \xi)(y' - \eta') - (\chi' - \xi')(y - \eta)}{L \cdot \eta} \right] \right\}$$

$$L = 1 - \zeta \tan f \quad \text{καὶ} \quad \xi = \varrho \cos \varphi' \sin h$$

$$\eta = \varrho \sin \varphi' \cos d - \varrho \cos \varphi' \sin d \cos h$$

$$\zeta = \varrho \sin \varphi' \sin d + \varrho \cos \varphi' \cos h \cos d$$

$$\xi' = \mu' \varrho \cos \varphi' \cos h, \quad \eta' = \mu' \xi \sin d - \zeta d', \quad h = \mu - \lambda - 1.0027 \Delta T.$$

Ἡ ὅλη μέθοδος εἶναι προσεγγιστική, γιὰ τὸ λόγο αὐτὸ ἐπαναλαμβάνεται μέχρι νὰ πετύχουμε τὴν ἀπαιτούμενη ἀκρίβεια, μὲ διαδοχικὲς προσεγγίσεις.

Ο ὑπολογισμὸς ἔγινε μὲ τὸν ἡλεκτρονικὸ ὑπολογιστὴ τοῦ Ἰονοσφαιρικοῦ Ἰνστιτούτου τοῦ Ἐθνικοῦ Ἀστεροσκοπείου Ἀθηνῶν. Γιὰ τὸν τόπο παρατηρήσεων μὲ συντεταγμένες $\varphi = 38^{\circ} 02' 14''.83$ καὶ $\lambda = -24^{\circ} 24' 11''.85$ καὶ ὑψόμετρο 60 μέτρα βρήκαμε ὅτι ἡ πρώτη ἐπαφὴ πραγματοποιήθηκε τὴν **08^h 05^m 43^{sec}. 61 Ο.Τ.** καὶ ἡ τελευταία τὴν **11^h 06^m 07^{sec}. 24 Ο.Τ.**

Η ΜΕΘΟΔΟΣ ΠΡΟΣΔΙΟΡΙΣΜΟΥ ΤΩΝ ΧΡΟΝΩΝ ΕΠΑΦΗΣ ΔΙΑ ΔΙΑΔΟΧΙΚΩΝ ΜΕΤΡΗΣΕΩΝ ΤΩΝ ΚΟΙΝΩΝ ΧΟΡΔΩΝ

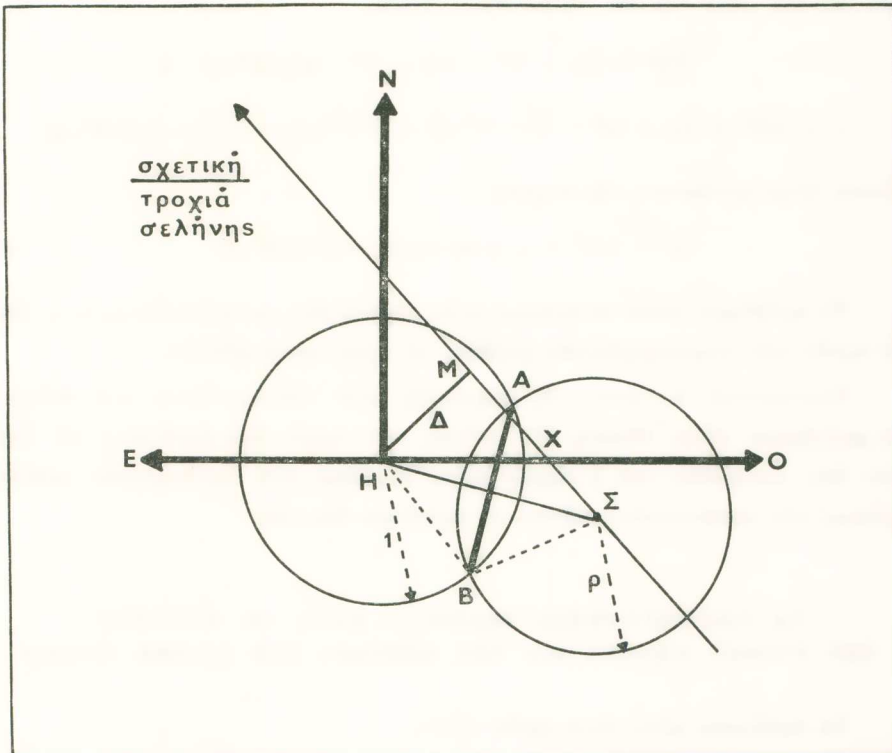
Εἶναι αὐτονόητο ὅτι δὲν εἶναι δυνατὸ νὰ προσδιοριστοῦν μὲ ἀκρίβεια, μὲ ἀπλὴ δόπτικὴ παρατήρηση οἱ χρονικὲς στιγμὲς τῶν ἐπαφῶν ἥλιακοῦ καὶ σεληνιακοῦ δίσκου λόγῳ τῶν ὑπεισερχομένων μεγάλων σφαλμάτων ποὺ ὀφείλονται στὸν παρατηρητὴ. Γιὰ τὸν λόγο αὐτὸ ἐφαρμόζονται ἀπλὲς μέθοδοι προσδιορισμοῦ τῶν χρόνων. Κοινὴ ἀρχὴ ὅλων τῶν μεθόδων εἶναι ἡ ἔξῆς:

Παρατηροῦμε (δόπτικῶς ἢ φωτογραφικῶς) ἐπὶ τοῦ ἥλιακοῦ δίσκου τὴν ἔξελιξη κάποιου γεωμετρικοῦ μεγέθους τὸ δόποιο κατὰ τὴν διάρκεια τῆς ἐκλείψεως μεταβάλλεται συναρτήσει τοῦ χρόνου. Κατόπιν βρίσκουμε τὴν ἀναλυτικὴ συνάρτηση μεταβολῆς καὶ ἀφοῦ προσδιορίσουμε τὸ μέγεθος κατὰ τὴ στιγμὴ τῆς ἐπαφῆς, μέσω τῆς ἀναλυτικῆς συναρτήσεως, βρίσκουμε τὸ χρόνο ἐπαφῆς.

Ἡ μέθοδος τῶν κοινῶν χορδῶν συνίσταται στὴ μέτρηση τῶν κοινῶν χορδῶν τῶν δύο δίσκων γιὰ χρονικὰ διαστήματα μετὰ τὴν πρώτη καὶ πρὸ τὴν τελευταία ἐπαφή. Κατόπιν βρίσκουμε τὴ συνάρτηση μεταβολῆς τῆς κοινῆς χορδῆς C συναρτήσει τοῦ χρόνου καὶ τελικὰ τὸ χρόνο ποὺ ἀντιστοιχεῖ στὸ C = 0.

Ἐνῶ ἡ μέθοδος φαινομενικὰ εἶναι ἀπλὴ καὶ ἀκριβής, πληθος δυσκολιῶν ἀνακύπτει κατὰ τὴν ἐφαρμογὴ τῆς. Θὰ ἔξειτάσσουμε πὼς παρουσιάζεται τὸ πρόβλημα.

"Αν δεχθοῦμε ὅτι τὰ προφὶλ τῶν δύο δίσκων εἶναι ἀπαλλαγμένα ἀπὸ ἀνωμαλίες καὶ ὅτι ἡ σχετικὴ κίνησή τους εἶναι ὁμαλὴ εὐθύγραμμη γιὰ μικρὰ χρονικὰ διαστήματα μετὰ τὴν πρώτη καὶ πρὸ τὴν τελευταία ἐπαφή, λαμβάνουμε (σχῆμα 1).



Σχ. 1. Ο δίσκος τῆς Σελήνης (Σ) κινεῖται γιὰ νὰ καλύψει τὸν ἡλιακὸ δίσκο (H).

$$AB^2 = [2(\varrho^2 + 1) - \Delta^2] - \chi^2 - \frac{(\varrho^2 - 1)^2}{\Delta^2 + \chi^2} \quad (1)$$

μὲ $\chi = V \cdot (t - t_\mu)$ ὅπου $t =$ ὁ χρόνος παρατηρήσεως καὶ t_μ ἡ στιγμὴ διελεύσεως τοῦ Σ ἀπὸ τὸ σημεῖο M (ἡ HM εἶναι κάθετος στὴν ΣM). Ως μονάδα γωνιαίας ἀποστάσεως θεωροῦμε τὴν ἡλιακὴ ἀκτίνα.

*Εξ ἄλλου

$$\frac{(\varrho^2 - 1)^2}{\Delta^2 + X^2} = \frac{(\varrho^2 - 1)^2}{\left(\sqrt{1 - \frac{AB^2}{4}} + \sqrt{\varrho^2 - \frac{AB^2}{4}} \right)^2} = (\varrho - 1)^2 + R(AB^2, \varrho) \quad (2)$$

$$\text{ὅπου } R(AB^2, \varrho) = 2 \left(\varrho - \frac{AB^2}{4} - \sqrt{1 - \frac{AB^2}{4}} \sqrt{\varrho^2 - \frac{AB^2}{4}} \right).$$

‘Υπολογίσαμε τίς τιμὲς τῆς $R(AB^2, \varrho)$ διὰ διάφορα AB καὶ ϱ (πίνακας 1).
Ἄπὸ τὴν (1) μέσω τῆς (2) λαμβάνουμε τελικῶς

$$AB^2 = [(q + 1)^2 - \Delta^2] - X^2 - R(AB^2, \varrho) \quad \text{ἢ}$$

$$y = AB^2 = [(q + 1)^2 - \Delta^2 - V^2 t_\mu^2] + 2V^2 t_\mu t - V^2 t^2 - R(AB^2, \varrho) \quad (3)$$

ἡ δποία εἶναι συνάρτηση τῆς μορφῆς

$$y = AB^2 = a + bt + ct^2 - R(AB^2, \varrho). \quad (3a)$$

Τὸ πρόβλημα πλέον συνίσταται στὴν εὔρεση τῶν συντελεστῶν a, b, c , βάσει τῶν τιμῶν παρατηρηθεισῶν χορδῶν, μὲ ἀριθμητικὴ μέθοδο.

Φαινομενικὰ ἡ εὔρεση τῆς παραβολῆς ποὺ προσαρμόζεται στὰ δεδομένα τῶν μετρήσεων εἶναι εὔκολη. Ἐν τούτοις μιὰ σειρὰ ἀπὸ σφάλματα τὰ δποῖα ἔχουν ἥδη ὑπεισέλθει καὶ ἡ περιορισμένη ἀκρίβεια τῶν ἀριθμητικῶν μεθόδων εὔρεσεως τῶν συντελεστῶν, κάνουν τὸ πρόβλημα δύσκολο.

ΤΑ ΥΠΕΙΣΕΡΧΟΜΕΝΑ ΣΦΑΛΜΑΤΑ ΚΑΤΑ ΤΗ ΜΕΤΡΗΣΗ ΤΩΝ ΧΡΟΝΩΝ ΕΠΑΦΗΣ ΔΙΑ ΤΗΣ ΜΕΘΟΔΟΥ ΤΩΝ ΚΟΙΝΩΝ ΧΟΡΔΩΝ

Τὰ σφάλματα αὗτὰ εἶναι τριῶν εἰδῶν.

α) Τὰ σφάλματα ποὺ ὀφείλονται στὶς παρατηρήσεις. Αὗτὰ μπορεῖ νὰ εἶναι συστηματικὰ (χρονογράφος, μετρητικὴ μηχανή, κλεῖστρο φωτογραφικῆς μηχανῆς, ἐλαττωματικὴ φωτοευαίσθητη ἐπιφάνεια) ἢ τυχαῖα (λόγω ἀτμοσφαιρικῶν συνθηκῶν κατὰ τὴν παρατήρηση (seeing), λόγω μὴ καταλλήλου ἐπεξεργασίας τῆς φωτογραφικῆς πλάκας, λόγω παρατηρητοῦ).

β) Τὰ σφάλματα ποὺ ὀφείλονται στὶς ὑποθέσεις στὶς δποῖες βασίστηκε ἡ ἀνάλυσή μας, τὰ δποῖα πάλι μπορεῖ νὰ εἶναι τυχαῖα (τοπικὲς ἀνωμαλίες τοῦ σεληνιακοῦ προφίλ) ἢ συστηματικὰ (φαινομένη σχετικὴ κίνηση τῶν δύο σωμάτων ὃχι εὐθύγραμμη καὶ ὅμαλὴ ἔστω καὶ γιὰ μικρὰ χρονικὰ διαστήματα).

γ) Τέλος τὰ σφάλματα ποὺ ὀφείλονται στὴν ἀριθμητικὴ μέθοδο ποὺ θὰ χρησιμοποιήσουμε γιὰ τὴν εὔρεση τῶν συντελεστῶν a, b, c .

Θὰ ἀναφερθῶμε ἀναλυτικὰ σὲ κάθε εἶδος ἀπὸ τὰ προαναφερθέντα σφάλματα, γιὰ τὶς παρατηρήσεις τῆς ἐκλείψεως τῆς 20ῆς Μαΐου 1966 τὶς δποῖες καὶ ἐπεξεργασθήκαμε.

ΠΙΝΑΚΑΣ 1.

Τιμές της συναρτήσεως $R(Y, \rho)$ για διάφορα Y και ρ .

Y/ρ	1.08	1.06	1.04	1.02	1.00	0.995	0.990	0.985	0.980	0.975	0.970	0.960	0.950
0.1 151ex-6	866ex-6	39ex-6	10ex-6	0	644ex-9	2.5ex-6	5ex-6	10ex-6	16ex-6	23ex-6	42ex-6	67ex-6	
0.2 310 "	178 "	80 "	20 "	0	1.3ex-6	5.3 "	12 "	21 "	33 "	48 "	87 "	138 "	
0.3 477 "	274 "	124 "	31 "	0	2 "	8 "	18 "	33 "	52 "	75 "	135 "	214 "	
0.4 653 "	375 "	170 "	43 "	0	2.7"	11 "	25 "	45 "	71 "	103 "	186 "	294 "	
0.5 837 "	481 "	218 "	55 "	0	3.5"	14 "	32 "	58 "	91 "	133 "	239 "	378 "	
0.6 1023 "	593 "	269 "	68 "	0	4.4"	17 "	40 "	72 "	113"	164 "	296 "	468 "	
0.7 1237 "	712 "	323 "	82 "	0	5.3"	21 "	48 "	86 "	136"	198 "	356 "	564 "	
0.8 1455 "	837 "	380 "	97 "	0	6.2"	25 "	57 "	102"	161"	233 "	421 "	666 "	
0.9 1685 "	970 "	441 "	113"	0	7.3"	29 "	66 "	119"	187"	271 "	489 "	776 "	
1.0 1928 "	1111 "	506 "	129 "	0	8.3"	33 "	76 "	136"	215"	312 "	563 "	893 "	
1.2 2463 "	1421 "	648 "	166 "	0	10 "	43 "	98 "	176"	277"	403 "	727 "	1154"	
1.4 3071 "	1775 "	811 "	208 "	0	13 "	54 "	124"	222"	350"	508 "	918 "	1459"	
1.6 3769 "	2183 "	1000 "	258 "	0	16 "	67 "	153"	275"	434"	631 "	1143"	1819"	
1.8 4579 "	2658 "	1220 "	315 "	0	20 "	83 "	189"	339"	535"	779 "	1412"	2252"	
2.0 5530 "	3218 "	1482 "	384 "	0	25 "	102 "	231 "	416"	658"	957 "	1740 "	2782"	

α) Σφάλματα ποὺ δφείλονται στίς παρατηρήσεις.

Δίνουμε στὸν πίνακα 2 τίς τιμές τοῦ μήκους τῶν χορδῶν γιὰ τὴν ἔκλειψη τῆς 20ῆς Μαΐου καθὼς καὶ τὸ πιθανὸ σφάλμα ποὺ δφείλεται στὴ μέτρηση τῆς χορδῆς μὲ τὴν μετρητικὴ μηχανὴ Ridell.

Τὸ σφάλμα αὐτὸ δημιουργεῖται λόγῳ τῆς δυσκολίας τοῦ προσδιορισμοῦ τῶν δρίων τῆς χορδῆς, δφείλεται δὲ ἡ δυσκολία αὐτὴ ὅχι στὴ μετρητικὴ μηχανὴ ἀλλὰ στὴ βαθμαία μείωση τῆς δπτικῆς πυκνότητας στὰ ἄκρα τῆς χορδῆς. Στὸ σφάλμα αὐτὸ περιλαμβάνεται καὶ τὸ σφάλμα τοῦ παρατηρητοῦ δ ὁποῖος ἔκανε τίς μετρήσεις. Εἶναι δὲ ἀνεξάρτητο τοῦ μήκους τῆς χορδῆς.

Ἡ βαθμαία μείωση τῆς πυκνότητας δφείλεται στὴ διάχυση τοῦ φωτὸς ἐπὶ τῆς φωτογραφικῆς ἐπιφάνειας, στὸ seeing καὶ στὶς ἴδιότητες τῶν κρυστάλλων ποὺ ἀποτελοῦν τὴν φωτοευαίσθητη ἐπιφάνεια. Ὁ μόνος τρόπος γιὰ νὰ μειώσουμε τὸ σφάλμα αὐτὸ εἶναι νὰ αὐξήσουμε τὴ διάμετρο τοῦ εἰδώλου. Δυστυχῶς ὅμως τὸ φωτογραφικὸ ὑλικὸ προϋπηρχε καὶ οἱ διαστάσεις τοῦ ἡλιακοῦ δίσκου ἦταν αὐτὲς ποὺ προαναφέρθηκαν.

Τὸ seeing ἐπιφέρει καὶ μεταβολὴ τοῦ μήκους τῆς χορδῆς. Ἐὰν τὸ πλῆθος τῶν παρατηρήσεων γιὰ κάθε ἐπαφὴ ἦταν μεγάλο (> 30), θὰ μπορούσαμε νὰ θεωρήσουμε ὅτι τὸ μέσο σφάλμα λόγῳ seeing εἶναι μηδέν. Δυστυχῶς διαθέτουμε μόνο 10 παρατηρήσεις γιὰ κάθε ἐπαφή. Ἐπὶ πλέον, δὲν ὑπῆρχε σύστημα αὐτομάτου διαλογῆς συνθηκῶν παρατηρήσεως (seeing monitor) γιὰ νὰ γνωρίζουμε σὲ ποιὲς στιγμὲς τὸ seeing ἦταν ἵδιαίτερα ἀσχημο. Ἐπειδὴ τὸ seeing ἦταν καλὸ (ποιότης 2 στὴν κλίμακα Kiepenheuer), τὸ μέγιστο σφάλμα γιὰ τὴν ἡλιακὴ ἀκτίνα ἦταν γιὰ εἰδωλο διαμέτρου ≈ 7.6 cm τῆς τάξεως ± 0.008 cm.

Ὑπάρχει ἐπίσης σφάλμα 0.04 — 0.06 sec στοὺς χρόνους, διότι δ ἔργονογράφος κατέγραψε μὲ ἀκρίβεια ἔκατοστοῦ τοῦ δευτερολέπτου τὴν ἀρχὴ λήψεως τῆς φωτογραφίας καὶ ὅχι τὴ στιγμὴ τοῦ σχηματισμοῦ τῆς λανθάνουσας εἰκόνας ἐπὶ τῆς πλάκας. Τὸ σφάλμα αὐτὸ εἶναι δυνατὸ νὰ ἔξουδετερωθεῖ μὲ τὴν χρησιμοποίηση μικρῶν χρόνων λήψεως, δηλ. 1/125 ἔως 1/250 sec.

Θεωρήσαμε σκόπιμο, γιὰ νὰ ἔξουδετερώσουμε δρισμένα ἀπὸ τὰ σφάλματα αὐτά, νὰ βροῦμε τὶς διορθωμένες χορδὲς $AB_d = AB_t \frac{\bar{D}}{D}$ ὅπου AB_t ἡ μετρηθεῖσα χορδὴ τὴ χρονικὴ στιγμὴ t, \bar{D} ἡ μέση διάμετρος τοῦ ἡλιου στὸ σύνολο τῶν φωτογραφιῶν γιὰ τὴν πρώτη καὶ ἀντιστοίχως γιὰ τὴν τελευταία ἐπαφὴ καὶ D ἡ διάμετρος τοῦ ἡλιακοῦ δίσκου στὴ συγκεκριμένη εἰκόνα.

Δεδομένα παρατηρήσεως πρώτης και τελευταίας έπαφης στην έκλεψη της 20-5-1966.

α/α	Π ρώτη $\hat{\varepsilon}$ π α φ η	Πιθανό σφάλμα	U. T. λήψεως	α/α	Μῆκος λογδῆς	Πιθανό σφάλμα	Τ ελευταία $\hat{\varepsilon}$ π α φ η	U. T. λήψεως
1	1.2235 cm	\pm 0.0008 cm	08 ^h 06 ^m 47.47 ^s	1	2.5553 cm	\pm 0.0006 cm	11 ^h 00 ^m 37.62 ^s	
2	1.3804 »	\pm 0.0018 »	07 02.68	2	2.4217 »	\pm 0.0009 »	01 13.90	
3	1.5669 »	\pm 0.0016 »	07 29.38	3	2.3463 »	\pm 0.0017 »	01 28.05	
4	1.7662 »	\pm 0.0027 »	07 54.82	4	2.1874 »	\pm 0.0017 »	02 03.54	
5	1.9518 »	\pm 0.0038 »	08 23.48	5	2.1099 »	\pm 0.0007 »	02 21.72	
6	2.0626 »	\pm 0.0007 »	08 45.38	6	1.9796 »	\pm 0.0014 »	02 46.22	
7	2.1501 »	\pm 0.0007 »	09 04.14	7	1.8947 »	\pm 0.0020 »	03 03.82	
8	2.2555 »	\pm 0.0009 »	09 21.28	8	1.8248 »	\pm 0.0012 »	03 18.80	
9	2.3553 »	\pm 0.0011 »	09 40.45	9	1.6863 »	\pm 0.0020 »	03 44.24	
10	2.4378 »	\pm 0.0002 »	09 56.86	10	1.5644 »	\pm 0.0018 »	04 02.22	
				11	1.2014 »	\pm 0.0025 »	04 56.72	
Διάρκεια ζύγου παρατηρήσεως: 3.1565 ^{min}								
Διάρκεια ζύγου παρατηρήσεως: 4.3183 ^{min}								

*Επιτυγχάνουμε έτσι ένα είδος νορμαλισμού της χορδῆς. Πιθανὸ συστηματικὸ σφάλμα τῆς μετρητικῆς μηχανῆς Ridell δὲν ἔχει προσδιοριστεῖ.

β) Σφάλματα ποὺ διφείλονται στὶς ἀνωμαλίες τοῦ σεληνιακοῦ προφίλ. Θὰ προσδιορίσουμε τὸ ἐπὶ τῆς μετρουμένης χορδῆς σφάλμα ποὺ διφείλεται στὶς ἀνωμαλίες αὐτές.

Τὰ τυχαῖα σφάλματα τῆς κατηγορίας αὗτῆς διφείλονται στὶς ἀνωμαλίες τοῦ σεληνιακοῦ προφίλ. Θὰ προσδιορίσουμε τὸ ἐπὶ τῆς μετρουμένης χορδῆς σφάλμα ποὺ διφείλεται στὶς ἀνωμαλίες αὐτές.

*Απὸ τὴν (1) λαμβάνουμε :

$$d(AB^2) = 2 \left(1 - \frac{\varrho^2 - 1}{\Delta^2 + \chi^2} \right) d\varrho^2$$

καὶ ἀν περιοριστοῦμε στὸν κύριο ὅρο

$$d(AB^2) = 2 d\varrho^2 = 4 \varrho d\varrho \approx 4 d\varrho.$$

Μονάδα μετρήσεως τοῦ ϱ λαμβάνεται ἡ ἡλιακὴ ἀκτίνα. Πρέπει νὰ σημειώσουμε ὅτι κοντὰ στὶς ἔξωτερικὲς ἐπαφές $\Delta^2 + \chi^2 = SL^2 \approx 2$.

*Αν περιοριστοῦμε στὸ σφάλμα ποὺ δημιουργεῖται στὸ ένα ἄκρο τῆς μετρουμένης χορδῆς $d(AB^2) \approx 2d\varrho$.

Οἱ περισσότερες ἀπὸ τὶς ἀνωμαλίες τοῦ σεληνιακοῦ προφίλ περιορίζονται σὲ μικρὰ τόξα, ἀλλὰ ὑπάρχουν καὶ ἀνωμαλίες ποὺ ἀπλώνονται σὲ σχετικὰ ἐκτεταμένες περιοχὲς (ἔως 20°) μὲ μέγεθος $2''$ ἔως $3''$. Τέτοιες ἀνωμαλίες τοῦ προφίλ φτάνουν τὰ 0.002 τῆς σεληνιακῆς ἀκτίνας, δηλαδὴ γιὰ τὴ συγκεκριμένη περίπτωση 0.015 cm. Τὸ σφάλμα αὐτὸ εἶναι ἀρκετὰ σοβαρό. Γιὰ παρατηρήσεις ποὺ πληροῦν ὅλες τὶς προϋποθέσεις ποὺ καθορίσαμε σχετικὰ μὲ τὸ seeing, τὴν ἀκρίβεια τῶν χρόνων, τὸ μεγάλο ἀριθμὸ μετρουμένων χορδῶν κλπ., οἱ ἀνωμαλίες τοῦ προφίλ καὶ ἡ ἐπίδρασή του ἐπὶ τοῦ μήκους τῶν χορδῶν εἶναι δυνατὸ νὰ προσδιοριστοῦν μὲ βάση τὴν θέση τῆς σελήνης καὶ τοὺς ἀτλαντες τοῦ σεληνιακοῦ προφίλ.

γ) Σφάλματα ποὺ ὅφείλονται στὴν ἀριθμητικὴ μέθοδο προσδιορισμὸς τῶν συντελεστῶν a, b, c , τῆς παραβολῆς (3a) εἶναι συχνὰ πηγὴ σοβαρῶν σφαλμάτων. Τοῦτο ὅφείλεται στὸ ὅτι ὅλες οἱ μέθοδοι τῆς ἀριθμητικῆς ἀναλύσεως, ἀποβλέπουν στὴν εὔρεση παραβολῆς ἢ ὅποια προσαρμόζεται κατὰ τὸ δυνατὸ καλύτερα στὸ σύνολο τῶν δοθέντων σημείων καὶ ὅχι σὲ κάποιο συγκεκριμένο ἀπὸ αὐτά.

Στὴν πραγματικότητα ὅμως μᾶς ἐνδιαφέρει μιὰ συγκεκριμένη ἰδιότητα τῆς παραβολῆς, ἡ ὃσον τὸ δυνατὸ καλύτερη προσαρμογή τῆς στὸ σημεῖο γιὰ τὸ ὅποιο $AB^2 = 0$. Τὸ πρόβλημα λοιπὸν ἐντοπίζεται στὸ ὅτι δὲν μποροῦμε νὰ γνωρίζουμε τὸ σφάλμα τῆς προσεγγίσεως γιὰ τὸ συγκεκριμένο σημεῖο παρὰ μόνο τὸ μέσο σφάλμα ἢ τὸ μέγιστο σφάλμα γιὰ τὸ σύνολο τῶν σημείων. Δεδομένου δὲ ὅτι ὁ συντελεστὴς C τοῦ δευτεροβαθμίου ὅρου εἶναι ἔξαιρετικὰ μικρός, τὸ πρόβλημα καθίσταται δυσκολώτερο.

Χρησιμοποιήσαμε τρεῖς διαφορετικὲς μεθόδους προσδιορισμὸς τῶν συντελεστῶν.

- A) τὴν μέθοδο τῶν ἐλαχίστων τετραγώνων.
- B) τὴν μέθοδο min-max.
- Γ) τὴν προσεγγιστικὴ μέθοδο ποὺ προτείνει ὁ J. Dommanget.

Παραθέτουμε τὰ ἀποτελέσματα μὲ μορφὴ συγκριτικοῦ πίνακα (πίνακας 3), ὅπου ἀναφέρονται οἱ τρεῖς μέθοδοι προσδιορισμοῦ τοῦ χρόνου σὲ δύο παραλλαγὲς ἢ κάθε μία. Τὰ ἀποτελέσματα αὐτὰ συγκρίνονται μὲ τὸ θεωρητικὸ ὑπολογισμὸ μὲ βάση τὰ στοιχεῖα Bessel.

Δίνουμε γιὰ τὴν πρώτη ἐπαφὴ τὶς τιμὲς τῶν διαφορῶν ὑπολογισθείσης καὶ μετρηθείσης χορδῆς γιὰ τὶς διάφορες μεθόδους προσεγγίσεως καθὼς καὶ τὰ πιθανὰ σφάλματα, ὥστε νὰ εἶναι δυνατὸς ὁ προσδιορισμὸς τοῦ πιθανοῦ σφάλματος γιὰ τὸν προσδιορισθέντα χρόνο (πίνακας 4).

Τὰ ἵδια ἀποτελέσματα δίνονται καὶ γιὰ τὴν τελευταία ἐπαφὴ γιὰ τὶς μεθόδους 1 ἕως 4 μόνο (πίνακας 5).

“Οπως εὔκολα διαπιστώνουμε, παρὰ τὸ ὅτι οἱ προσεγγίσεις ποὺ ἐπιτυγχάνονται καὶ μὲ τὶς τρεῖς μεθόδους εἶναι

Π Ι Ν Α Κ Α Σ 3.

Οι χρήστοι έπαφης δημιουργίστηκαν μὲ διάφορες προσεγγιστικές μεθόδους καὶ οἱ διαφορές τους διπλά τοῦ θεωρητικοῦ πολογισμού χρέων.

Μέθοδος προσεγγίσεως	Πρώτη έπαφή		Τελευταία έπαφή	
	Χρόνος	Δt	Χρόνος	Δt
(1) Προσέγγισης διαύθετας $AB^2 = at + b$. "Ελάχιστα τεράγνωνα. Χορδές διορθωμένες βάσει διαμέτρου είδωλου	8 ^h 05 ^m 43.91 ^s	+ 0.03 ^s	11 ^h 06 ^m 6.63 ^s	- 0.61 ^s
(2) Προσέγγισης διαύθετας $AB^2 = at + b$. "Ελάχιστα τεράγνωνα. Χορδές μετρηθεῖσες . . .	8 ^h 05 ^m 42 ^s	- 1.61 ^s	11 ^h 06 ^m 7.08 ^s	- 0.16 ^s
(3) Προσέγγισης διὰ παραβολῆς $AB^2 = a + bt + ct^2$. "Ελάχιστα τεράγνωνα, χορδές διορθωμένες . . .	8 ^h 05 ^m 52.83 ^s	+ 9.22 ^s	11 ^h 06 ^m 14.50 ^s	+ 7.26 ^s
(4) Προσέγγισης διὰ παραβολῆς $AB^2 = a + bt + ct^2$. "Ελάχιστα τεράγνωνα, χορδές μετρηθεῖσες . . .	8 ^h 05 ^m 42.24 ^s	- 1.37 ^s	11 ^h 06 ^m 10.87 ^s	+ 3.63 ^s

(Συνέχεια του πίνακα 3)

Μέδοδος προσεγγίσεως	Πρώτη επαφή			Τελευταία επαφή
	Xρόνος	Δt	Xρόνος	
(5) Προσέγγιση διά παραβολής $AB^2 = a + bt + ct^2$. Μέδοδος Min - Max, χρονική μετρητήσεις . . .	8 ^h 05 ^m 23.69 ^s	— 19.92 ^s		
(6) Προσέγγιση διά παραβολής $AB^2 = a + bt + ct^2$. Χρονική διαρρομένες, ελήφθη ήπια σύντομη οψινή R(Y, Q)	8 ^h 05 ^m 39.54 ^s	— 4.07 ^s	11 ^h 06 ^m 14.5 ^s	+ 7.26 ^s
(7) Προσέγγιση διά παραβολής $AB^2 = a + bt + ct^2$. Χρονική μετρητήσεις, ελήφθη ήπια σύντομη οψινή R(Y, Q)	8 ^h 05 42.24 ^s	— 1.37 ^s	11 ^h 06 ^m 14.86 ^s	+ 7.62 ^s
Προσδιορισμὸς ηρόνων επαφῆς διὰ τῆς προσεγγίσης μεθόδου τῶν ἀστρονομικῶν ἐφημερίδων μὲ βάση τὰ στοιχεῖα Bessel τῆς ἐκλεψίεως . . .	8 ^h 05 ^m 43.61 ^s		11 ^h 06 ^m 07.24 ^s	

Π Ι Ν Α Κ Α Σ 4.

Διαφορές μεταξύ παρατηρημένης και άπολογισμένης κωνικής κορδής για τις διάφορες μεθόδους προσεγγίσεως και πιθανά σφάλματα στην πρώτη έπαφη.

$$\Delta(\Pi - Y) \text{ cm} - \Pi \text{ ω τη } \hat{\varepsilon} \pi \alpha \varphi \hat{\eta}$$

α/α	Xρόνος	Μέθοδος 1	Μέθοδος 2	Μέθοδος 3	Μέθοδος 4	Μέθοδος 5
1	08 ^h 06 ^m 47.47 ^s	0.00012	-0.00981	0.05104	-0.00928	-0.08804
2	07 02.68	0.01845	0.01127	0.05431	0.01149	-0.03152
3	07 29.38	-0.00904	-0.01259	0.00947	-0.01271	-0.01221
4	07 54.82	0.01048	0.00954	0.01881	0.00928	0.03583
5	08 23.48	0.01337	0.01484	0.01486	0.01458	0.05804
6	08 45.38	-0.00458	-0.00153	-0.00593	-0.00174	0.04792
7	09 04.14	-0.02131	-0.01705	-0.02382	-0.01719	0.03408
8	09 21.28	-0.00693	-0.00164	-0.00962	-0.00166	0.04842
9	09 40.45	-0.00479	0.00155	-0.00680	0.00168	0.04787
10	09 56.86	-0.00277	0.00441	-0.00357	0.00470	0.04561
		$\bar{\Delta} = -0.0007$	$\bar{\Delta} = -0.0001$	$\bar{\Delta} = 0.0098$	$\bar{\Delta} = -0.000085$	$\bar{\Delta} = 0.0186$
	$\sigma_{\Delta} = 0.01183$	$\sigma_{\Delta} = 0.01059$	$\sigma_{\Delta} = 0.02581$	$\sigma_{\Delta} = 0.01056$	$\sigma_{\Delta} = 0.04744$	

Διαφορές μεταξύ παρατηρημένης και ύπολογισμένης χορδής γιά τις διάφορες μεθόδους προσεγγίσεως και πιθανά σφάλματα γιά την τελευταία έπαφη.

$$\Delta(\Pi - Y) \text{ cm} - T \epsilon \lambda e u t a i \alpha \hat{\epsilon} \pi \alpha \varphi \dot{\eta}$$

α/α	X _Q νo _ς	Mέθοδος 1	Mέθοδος 2	Mέθοδος 3	Mέθοδος 4
1	11 ^b 00 ^m 37.62 ^s	0.00147	0.00294	— 0.00666	— 0.00506
2	01 13.90	0.01277	0.01396	0.01068	0.01188
3	01 28.05	— 0.00368	— 0.00262	— 0.00383	— 0.00279
4	02 03.54	— 0.00778	— 0.00707	— 0.00420	— 0.00354
5	02 21.72	— 0.00161	— 0.00107	0.00320	0.00368
6	02 46.22	— 0.01359	— 0.01332	— 0.00802	— 0.00784
7	03 03.82	— 0.00895	— 0.00890	— 0.00353	— 0.00356
8	03 18.80	0.00082	0.00066	0.00557	0.00532
9	03 44.24	0.00624	0.00567	0.00847	0.00791
10	04 02.22	— 0.00603	— 0.00689	— 0.00682	— 0.00768
11	04 56.72	0.02422	0.02188	0.00367	0.00175
		$\bar{\Delta} = 0.00035$	$\bar{\Delta} = 0.00476$	$\bar{\Delta} = -0.000133$	$\bar{\Delta} = 0.0000636$
		$\sigma_{\Delta} = 0.01080$	$\sigma_{\Delta} = 0.01036$	$\sigma_{\Delta} = 0.006635$	$\sigma_{\Delta} = 0.0065394$

ΠΙΝΑΚΑΣ 6.

Σφάλματα μετρουμένων χορδών που δημιουργούνται στους διάφορους παράγοντες.

	Ειδος σφάλματος	Πρώτη επαφή	Τελευταία επαφή
1.	Σφάλματα επί τόν μετρουμένων χορδών		
α)	Μέγιστο πιθανό σφάλμα λόγω απροσδιοριστάς στή μέτρηση της χορδής (cm)	± 0.0038	± 0.0025
β)	Λόγω seeing (cm)	± 0.0080	± 0.0080
γ)	Λόγω ανωμαλιών του σεληνιακού προφίλ (cm)	± 0.015	± 0.015
δ)	Μέγιστο πιθανό σφάλμα λόγω προσεγγίσεως υπό παραβολής (cm)	± 0.04	± 0.02
2.	Σφάλματα είς τον καταγραφέντες χρόνους Σφάλμα λόγω μεγάλου χρόνου Εκθέσεως (sec)	- 0.05	± 0.05
	Mέσο πιθανό σφάλμα προσδιορισμού χρόνου λόγω σφαλμάτων επί τόν μετρουμένων χορδῶν	± 1.5 sec	± 1 sec

ἀρκετὰ ίκανο ποιητικές, οἵ διαφορὲς στὸν προσδιορισμὸν τῶν χρόνων, ἵδιαίτερα γιὰ τὴν τελευταία ἐπαφὴ εἶναι μεγάλες, καὶ μάλιστα δὲν ἔξαρτῶνται ἀπὸ τὴν ἀκρίβεια τῆς προσεγγίσεως. Ἔτσι, ἐνῶ εἶναι σαφέστατο ὅτι γιὰ τὴν τελευταία ἐπαφὴ ἡ καλύτερη προσέγγιση γίνεται στὴν περίπτωση (4), ἡ μικρότερη διαφορὰ μεταξὺ παρατηρηθέντος καὶ ὑπολογισθέντος χρόνου παρουσιάζεται στὴν περίπτωση (2).

Ἄρα μικρότερη διαφορὰ μεταξὺ παρατηρηθέντος καὶ ὑπολογισθέντος χρόνου σὲ μιὰ περίπτωση μὲν μιὰ μέθοδο δὲν συνεπάγεται ἀκριβέστερη προσέγγιστικὴ μέθοδο γιὰ τὸ σύνολο τῶν χορδῶν.

Κατὰ τὸ παρελθόν γιὰ τὴν αὐτὴν ἔκλειψη καὶ μὲ τὴν αὐτὴν ἐπεξεργασία, διαφορετικὲς σειρὲς παρατηρήσεων ἀπὸ τὸν αὐτὸν τόπο δόδηγοῦσαν σὲ χρόνους ἐντελῶς διαφορετικούς.

Ἐτσι γιὰ τὴν ἔκλειψη τῆς 2/10/59 ταυτόχρονες παρατηρήσεις τῶν S. Arend καὶ J. Dommanget ἔδωσαν ὡς χρόνους ἐπαφῆς $13^{\text{h}} 00^{\text{m}} 50^{\text{s}}.2 \pm 0.8 \text{ sec}$ καὶ $13^{\text{h}} 00^{\text{m}} 54^{\text{s}}.6 \pm 0.7 \text{ sec}$. Ὁ προβλεφθεὶς χρόνος ἀπὸ τὰ στοιχεῖα Bessel ἦταν $13^{\text{h}} 00^{\text{m}} 49^{\text{sec}}$.

Γιὰ τὴν ἔκλειψη τῆς 15/2/61 οἱ ἵδιοι παρατηρητὲς ἔδωσαν ὡς χρόνο ἐπαφῆς $8^{\text{h}} 50^{\text{m}} 3^{\text{s}}.4 \pm 0.5 \text{ sec}$ καὶ $8^{\text{h}} 50^{\text{m}} 4^{\text{s}}.1 \pm 0.6 \text{ sec}$, ἐνῶ ὁ προβλεφθεὶς χρόνος ἦταν $8^{\text{h}} 49^{\text{m}} 49^{\text{s}}$.

Τὰ γεγονότα αὐτὰ μᾶς δόδηγοῦν στὸ συμπέρασμα ὅτι τὰ σφάλματα ποὺ ὑπεισέρχονται εἰναι τυχαῖα καὶ ὅτι ἡ ἀκρίβεια τῆς μεθόδου ἐνῶ θεωρητικῶς εἶναι ἄριστη, στὴν πράξη ἐμφανίζεται ἰδιαίτερα μικρή.

Στὸν πίνακα 6 δίνουμε συγκεκριμένα τὰ μεγέθη τῶν σφαλμάτων γιὰ τὶς παρατηρήσεις τῆς ἔκλειψεως τῆς 20ῆς Μαΐου 1966. Προφανῶς πρόκειται μόνο γιὰ σφάλματα ποὺ ἐντοπίσαμε, διότι ὅπως ἥδη ἔγινε κατανοητὸν πάραχει μιὰ σειρὰ τυχαίων σφαλμάτων ποὺ δύσκολα ἐντοπίζονται.

ΓΕΝΙΚΑ ΣΥΜΠΕΡΑΣΜΑΤΑ

Ἀπὸ ὅσα ἥδη ἀναφέραμε εἶναι σαφὲς ὅτι ἡ μέθοδος προσδιορισμοῦ τῶν χρόνων ἐπαφῆς μὲ τὴν μέτρηση τῶν κοινῶν χορδῶν παρουσιάζει δρισμένα μειονεκτήματα, λόγῳ τῶν ὑπεισερχομένων τυχαίων καὶ συστηματικῶν σφαλμάτων.

Τὰ σφάλματα αὗτὰ εἶναι δυνατὸν νὰ μειωθοῦν στὸ ἔλάχιστο, ἢν ακολουθήσουμε μιὰ συγκεκριμένη μεθοδολογία ἢ ὅποια συνίσταται στὰ ἔξῆς:

1. Φωτογράφιση τῶν κοινῶν χορδῶν ἀμέσως μετὰ τὴν πρώτη καὶ μέχρι τὴν τελευταία ἐπαφὴ μὲ μικροὺς χρόνους ἐκθέσεως σὲ φίλμις ἢ πλάκες ὑψηλῆς ἀντιθέσεως.
2. Μεγάλος ἀριθμὸς φωτογραφιῶν (120 - 180) σὲ κάθε ἐπαφὴ καὶ ὅχι γιὰ χρονικὰ διαστήματα μεγαλύτερα ἀπὸ 3 λεπτὰ μετὰ τὴν πρώτη ἢ πρὶν τὴν τελευταία ἐπαφή.
3. Τὸ φωτογραφιζόμενο εἴδωλο θὰ πρέπει νὰ εἶναι ὅσο τὸ δυνατὸ μεγαλύτερο.
4. Μεγάλη ἀκρίβεια τῶν χρόνων, κατὰ τὴν φωτογράφηση.
5. Μελέτη τοῦ σεληνιακοῦ προφίλ καὶ ὑπολογισμὸς τῶν παρουσιαζομένων ἀνωμαλιῶν στὶς μετρούμενες χορδές.
6. Ὅσο τὸ δυνατὸ ἀριθμέστερος ὑπολογισμὸς τῆς συναρτήσεως μεταβολῆς τοῦ μήκους τῆς χορδῆς συναρτήσει τοῦ χρόνου.
7. Λειτουργία seeing monitor κατὰ τὴν διάρκεια τῶν παρατηρήσεων μὲ σκοπὸ τὸν ἀποκλεισμὸ τῶν εἰκόνων ποὺ λαμβάνονται μὲ κα κὸ seeing.

Μὲ τὶς προϋποθέσεις αὐτὲς τὰ τυχαῖα σφάλματα θὰ μειωθοῦν στὸ ἔλάχιστο. Ἐν τούτοις θὰ παραμείνει ἀμφίβολο ὅν τὸ ἀποτέλεσμα ἐκ τῶν παρατηρήσεων θὰ εἶναι πιὸ ἀξιόπιστο ἀπὸ τὸν προβλεπόμενο χρόνο ὑπὸ τῆς μεθόδου Bessel.

S U M M A R Y

We determine the contact time of the solar and lunar disc at the begining and the end of the solar eclipse of May 20, 1966. Our intension is to find the systematic differences between the computed time and the observational one.

We used six different methods for the calculation of the contact time by the use of the observational data. These results and the differences between the computed time and the observational one are given in table 3.

We finally propose some improvements in the method of observation.

ΒΙΒΛΙΟΓΡΑΦΙΑ

- S. A rend, Ciel et Terre, **58**, p. 362, 1942.
- _____, Communication de l'Observatoire Royal de Belgique, **229**, p. 1, 1963.
- A. Danjon, L'astronomie 50 année, p. 365, 1936.
- J. Dommanget, Communication de l'Observatoire Royal de Belgique, **78**, p. 3, 1965.
- _____, Ciel et Terre, **77**, p. 213, 1961.
- _____, Communications de l'Obtervatoire Royal de Belgique, **229**, p. 11, 1963.
- Δ. Κατσῆς, Διάλεξις εἰς Ε.Μ.Ε. 9/2/1961.
- E. Vandekerckhove, Ciel et Terre, **57**, p. 441, 1941.
- K. Χασάπης - Δ. Ήλίας, Memoirs of the National Observatory of Athens, **12**, 1965.
-